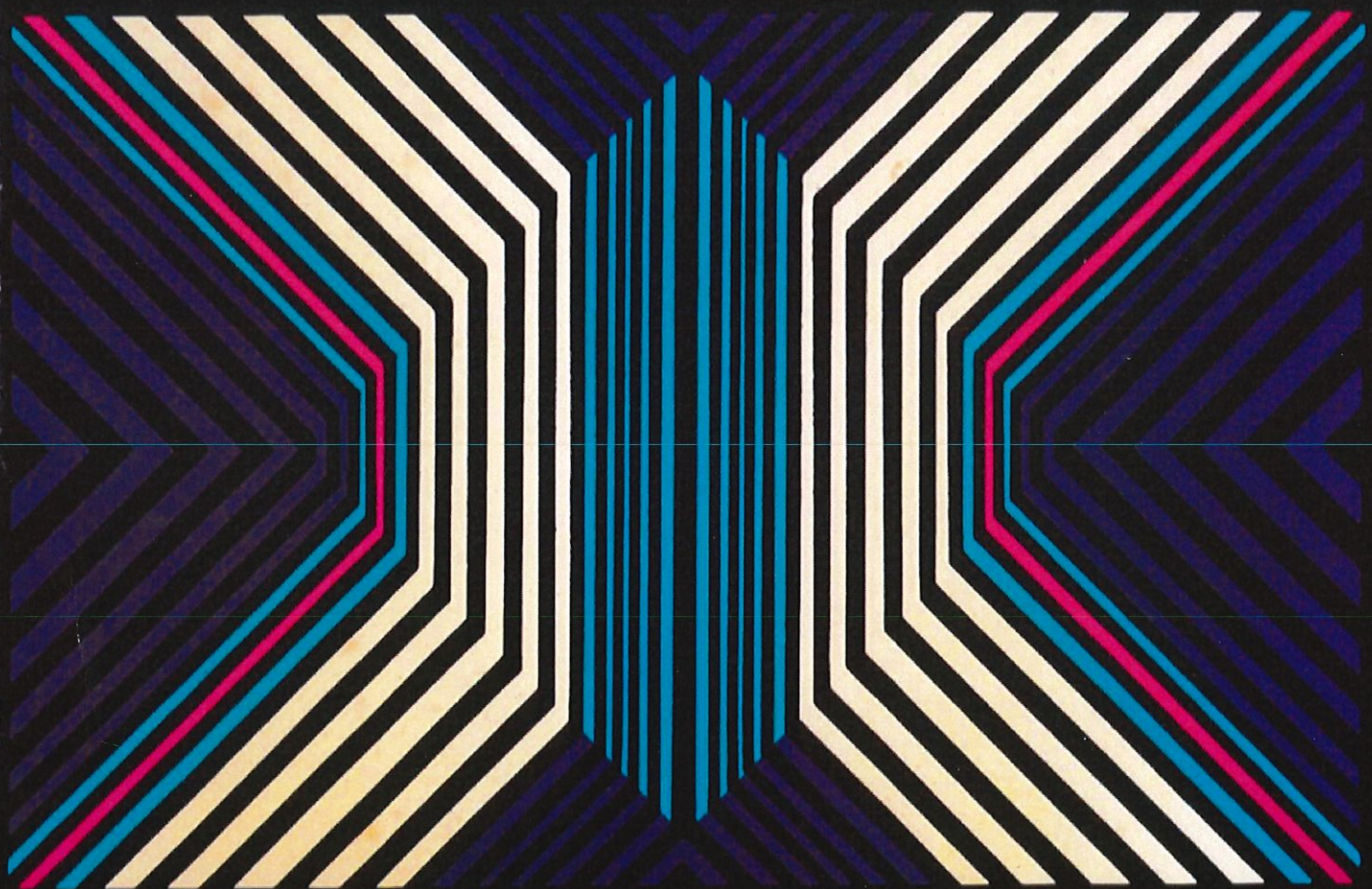


NEC

エレクトロニクス データブック

- 集積回路(IC)
- トランジスタ
- タイオート
- 整流器
- コンデンサ
- プリント配線板
- 電磁部品

'69



日本電氣株式會社

NEC
エレクトロニクス
データブック
ELECTRONICS
DATA
BOOK

'69

日本電気株式会社

各種集積回路索引

複合素子

- μ PA15A (23)
- μ PA16A (25)
- μ PA20A/20B (28)
- μ PA32A (30)
- μ PA33A (32)
- μ PA34A (33)
- μ PA35A (35)

D T L

- μ PB1A/1B (31)
- μ PB2A/2B (37)
- μ PB3A/3B (41)
- μ PB4A/4B (45)
- μ PB6A/6B (48)
- μ PB7A/7B (37)
- μ PB8A/8B (41)
- μ PB9A/9B (50)
- μ PB10A/10B (53)
- μ PB41A/41B (58)
- μ PB42A/42B (58)
- μ PB43A/43B (58)
- μ PB44A/44B (58)
- μ PB46A/46B (58)
- μ PB47A/47B (58)
- μ PB48A/48B (58)
- μ PB49A/49E (58)
- μ PB50A/50B (58)

T T L

- μ PB21B (72)
- μ PB30C (75)
- μ PB31C (78)
- μ PB32C (80)

- μ PB33C (82)
- μ PB34C (85)
- μ PB35C (88)
- μ PB36C (90)
- μ PB40C (94)
- μ PB201C (103)
- μ PB202C (110)
- μ PB203C (112)
- μ PB204C (114)
- μ PB205C (118)
- μ PB206C (119)
- μ PB207C (119)
- μ PB208C (121)
- μ PB209C (121)
- μ PB210C (126)
- μ PB211C (129)
- μ PB212C (135)
- μ PB213C (141)
- μ PB214C (147)
- μ PB215C (152)
- μ PB216C (156)
- μ PB217C (288)
- μ PB221C (288)

C T L

- μ PB952D (158)
- μ PB956D (161)

H N I L

- μ PB120D (289)
- μ PB121D (65)
- μ PB123D (65)
- μ PB124D (290)
- μ PB125D (68)

集積回路

μ PB126D	(291)	μ PC17C.....	(193)
μ PB127D	(291)	μ PC23C.....	(294)
 M O S		μ PC51A.....	(197)
μ PD9A.....	(224)	μ PC53A.....	(197)
μ PD10A.....	(227)	μ PC54C.....	(204)
μ PD11A.....	(231)	μ PC55A.....	(206)
μ PD12A.....	(235)	μ PC71A.....	(212)
μ PD13A.....	(243)	μ PC91C.....	(215)
μ PD14A.....	(246)	μ PC92A.....	(218)
μ PD15A.....	(246)	μ PC101B	(221)
μ PD16A.....	(249)	μ PC103A	(292)
μ PD101C	(253)	μ PC105A	(292)
μ PD102C	(253)	μ PC121A/121B.....	(293)
μ PD103C	(283)	 混成膜集積回路	
μ PD104C	(283)	MC-2527	(257)
μ PD105C	(284)	MC-2601	(259)
μ PD106C	(284)	MC-2602	(259)
μ PD107C	(284)	MC-2603	(259)
μ PD108C	(285)	MC-2621	(260)
μ PD109C	(285)	MC-2622	(260)
μ PD110C	(286)	MC-2623	(260)
μ PD111C	(286)	MC-2641	(261)
μ PD112C	(286)	MC-2642	(261)
μ PD116C	(287)	MC-2643	(261)
 アナログ I C		MC-2675	(266)
μ PC1A/1B	(164)	MC-4055	(268)
μ PC3A	(167)	MC-4056	(269)
μ PC4A	(171)	MC-4057	(270)
μ PC6A	(174)	MC-4058	(271)
μ PC7A/7B.....	(178)	MC-4059	(272)
μ PC12B	(184)	MC-4075	(273)
μ PC16A/16C	(186)	MC-4080	(276)

IC関係略号一覧表

IC関係略号一覧表(アルファベット順)

BV_{DS}	Drain-source breakdown voltage	ドレイン・ソースブレークダウン電圧
C	Capacitance	容量
C_{es}	Isolation capacitance	分離容量
C_ϕ	Clock input capacitance	クロック入力容量
C_I	Input capacitance	入力容量
C_{Is}	Input capacitance	入力容量
C_L	Load capacitance	負荷容量
C_{MRR}	Common mode rejection ratio	同相信号除去比
C_o	Output capacitance	出力容量
C_{ob}	Collector capacitance	コレクタ容量
D	Drain	ドレイン
d	Standing for a differential coefficient	微分係数または差を示す
f	Frequency	周波数
f_o	Cut-off frequency	遮断周波数
f_ϕ	Clock frequency	クロック周波数
f_{max}	Maximum frequency of oscillation	最高発振周波数
G	Gate	ゲート
g_m	Mutual Conductance	相互コンダクタンス
G_P	Power gain	電力利得
G_V	Voltage gain	電圧利得
G_{vo}	Open loop voltage gain	開放電圧利得
h_{FE}	DC current gain	直流電流増幅率
h_{fo}	Small signal current gain (output short circuit)	閉路小信号電流増幅率
h_{FE}/h_{FE}	DC current gain ratio	直流電流増幅率比
I^+	Current (positive)	正電流
I^-	Current (negative)	負電流
I_B	Base current	ベース電流
I_β	Inverse- β current	逆ベータ電流
I_{bias}	Input bias current	入力バイアス電流
I_C	Collector current	コレクタ電流

集積回路

I_{CEO}	Collector cut-off current	コレクタ遮断電流
I_{CC}	Circuit current	回路電流
I_{CCH}	High level circuit current	高レベル回路電流
I_{CLL}	Low level circuit current	低レベル回路電流
I_D	Drain current	ドレイン電流
I_{DD}	Circuit current (MOS)	回路電流 (モス型)
I_{DS}	Drain to source current	ドレイン・ソース間電流
I_{DSS}	Drain to source cut-off current	ドレイン・ソース間遮断電流
I_E	Emitter current	エミッタ電流
I_{EBO}	Emitter cut-off current	エミッタ遮断電流
I_F	Forward current	順電流
I_{GS}	Gate to source current (FET)	ゲート・ソース間電流
I_{GS}	Gate leakage current	ゲート漏洩電流
I_I	Input current	入力電流
I_{IH}	High level input current	高レベル入力電流
I_{IL}	Low level input current	低レベル入力電流
I_{max}	Maximum current	最大電流
I_o	Output current	出力電流
I_{OFF}	Input offset current	入力オフセット電流
I_{OH}	High level output current	高レベル出力電流
I_{OL}	Low level output current	低レベル出力電流
I_{OS}	Output short circuit current	出力短絡電流
I_R	Reverse current (diode)	逆電流 (ダイオード)
I_s	Source current	ソース電流
K_F	Distortion factor	歪率
K_{Fn}	Nth harmonic distortion	n次歪率
M	Fan-out	ファンアウト
N	Fan-in	ファンイン
NF	Noise figure	雑音指数
NL	Input noise level	入力雑音レベル
N_{IH}	High level noise immunity	高レベル雑音余裕度
N_{IL}	Low level noise immunity	低レベル雑音余裕度
P_C	Collector dissipation	コレクタ損失
P_D	Drain loss	ドレイン損失
P_d	Power consumption	消費電力

IC関係略号一覧表

P_I	Input power	入力電力
P_o	Output power	出力電力
$P_{o\max}$	Maximum output power	最大出力電力
P_T	Total dissipation	全損失
P_w	Pulse width	パルス幅
r_d	Dynamic resistance	動作抵抗
R_{DS}	Drain-source resistance	ドレイン・ソース間抵抗
R_I	Input resistance	入力抵抗
R_L	Load resistance	負荷抵抗
R_o	Output resistance	出力抵抗
R_s	Source resistance	信号源抵抗
S	Source	ソース
T_a	Ambient temperature	周囲温度
t_f	fall time	立下り時間
T_J	Junction temperature	ジャンクション温度
t_{off}	Turn-off time	ターンオフ時間
t_{on}	Turn-on time	ターンオン時間
T_{opt}	Operating temperature	動作温度
t_{pd}	Propagation delay time	伝達遅延時間
t_r	rise time	立上り時間
T_{stg}	Storage temperature	保存温度
t_{rr}	Reverse recovery time	逆方向回復時間
V^+	Voltage (positive)	正電源
V^-	Voltage (negative)	負電源
V_{CB}	Collector voltage (collector to base)	コレクタ電圧(コレクタ・ベース間)
V_{CBO}	Collector to base voltage	コレクタ・ベース間電圧
V_{CC}	Supply voltage	電源電圧(バイポーラ型)
V_{CE}	Collector voltage (collector to emitter)	コレクタ電圧(コレクタ・エミッタ間)
$V_{CE(sat)}$	Collector saturation voltage	コレクタ飽和電圧
V_{CS}	Isolation voltage	分離電圧
V_{DD}	Supply voltage (MOS)	電源電圧(モス型)

集積回路

V_{DS}	Drain voltage (drain to source)	ドレイン電圧 (ドレン・ソース間)
V_{EB}	Emitter voltage (emitter to base)	エミッタ電圧 (エミッタ・ベース間)
V_{EBO}	Emitter to base voltage	エミッタ・ベース間電圧
V_{EE}	Supply voltage (bipolar type)	電源電圧 (バイポーラ型)
V_F	Forward voltage	順電圧
$V_{\phi H}$	High level clock voltage	高レベルクロック電圧
V_{GS}	Gate voltage (gate to source)	ゲート電圧 (ゲート・ソース間)
V_I	Input voltage (DC)	入力電圧 (直流)
V_i	Input voltage (AC)	入力電圧 (交流)
V_{ID}	Differential input voltage (DC)	差動入力電圧 (直流)
V_{id}	Differential input voltage (AC)	差動入力電圧 (交流)
V_{IH}	High level input voltage	高レベル入力電圧
V_{IL}	Low level input voltage	低レベル入力電圧
V_o	Output voltage (DC)	出力電圧 (直流)
V_o	Output voltage (AC)	出力電圧 (交流)
V_{OFF}	Input offset voltage	入力オフセット電圧
V_{OH}	High level output voltage	高レベル出力電圧
V_{OL}	Low level output voltage	低レベル出力電圧
V_{omax}	Maximum output voltage swing	最大出力電圧
V_R	Reverse voltage	逆電圧
V_{REF}	Reference voltage	基準電圧
V_T	Input threshold voltage	遷移電圧
V_{TH}	High level input threshold voltage	高レベル遷移電圧
V_{th}	Threshold voltage (MOS)	遷移電圧 (モス型)
V_{TL}	Low Level input threshold voltage	低レベル遷移電圧
Z_i	Input impedance	入力インピーダンス
Z_o	Output impedance	出力インピーダンス

集積回路

μ PD9A

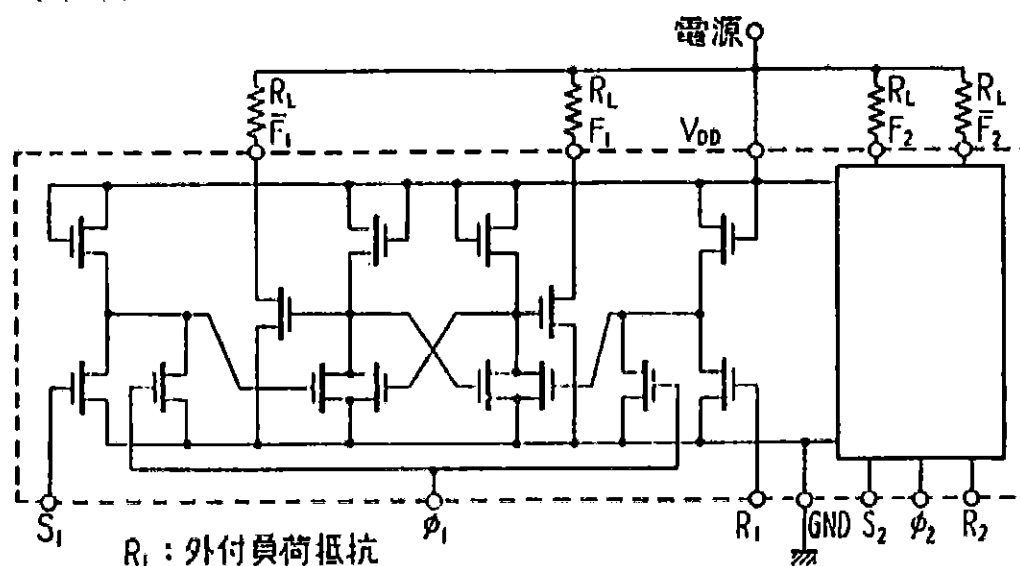
Dual R-S フリップフロップ
MOS形集積回路

○ Pチャンネル・エンハンスマント形MOS集積回路

○ 桌上計算機、カウンタ、計測器用

外形図：TO-5類似、12端子（295ページ図5）

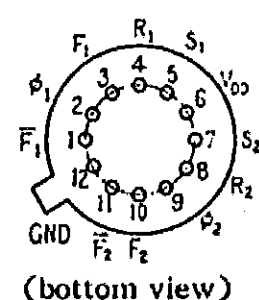
等価回路



絶対最大定格 ($T_a = 25^\circ C$)

項目	略号	定格	単位
電源電圧	V_{DD}	-28~0	V
入力電圧	V_I	-28~0	V
動作温度	T_{opt}	-20~+75	°C
保存温度	T_{stg}	-55~+150	°C

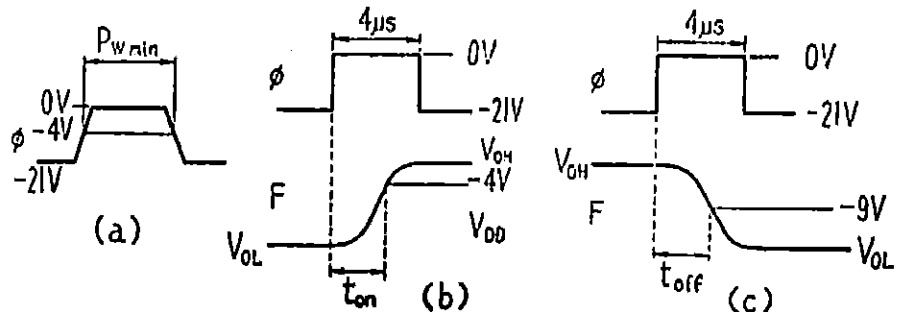
端子接続



電気的特性 ($T_a=25^\circ\text{C}$, $R_L=20\text{k}\Omega$, $V_{DD}=-24\text{V}$)

項目	略号	条件	最小	標準	最大	単位
消費電力	P_d	DC動作 (負荷抵抗での消費も含む)		70		mW
入力電圧 ハイレベル ロウレベル	V_{IH} V_{IL}			-4	-9	V
クロック電圧 ハイレベル ロウレベル パルス幅	$V_{\phi H}$ $V_{\phi L}$ P_w		-9	3	-4	μs
出力電圧 ハイレベル ロウレベル	V_{OH} V_{OL}	$V_{IH}=-4\text{V}$, $V_{IL}=-9\text{V}$	-21		-2	V
電圧余裕度 ハイレベル ロウレベル	V_{NH} V_{NL}		2		12	V
ターンオン時間 ターンオフ時間	t_{on} t_{off}	$C_L=30\text{pF}$ 図1参照 $C_L=30\text{pF}$ 図1参照			2.5	μs
入力(データ入力および クロック入力)	R_i	$V_T=-20\text{V}$	1			$M\Omega$
入力容量 RS端子 φ端子 出力容量	C_{RS} C_ϕ C_o	$f=1\text{MHz}$ $f=1\text{MHz}$ $f=1\text{MHz}, V_{DD}=\text{GND}$			4 9 8	pF

図1 P_w , t_{on} , t_{off} の定義(ただし ϕ の t_r , t_f は 30ns 以下)



集積回路

特性曲線 ($T_a = 25^\circ C$)

図 2 $R_L \cdot C_L - t_{on}$ 特性

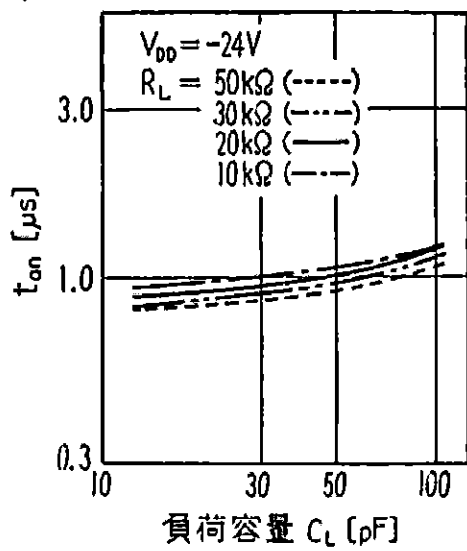


図 3 $R_L \cdot C_L - t_{off}$ 特性

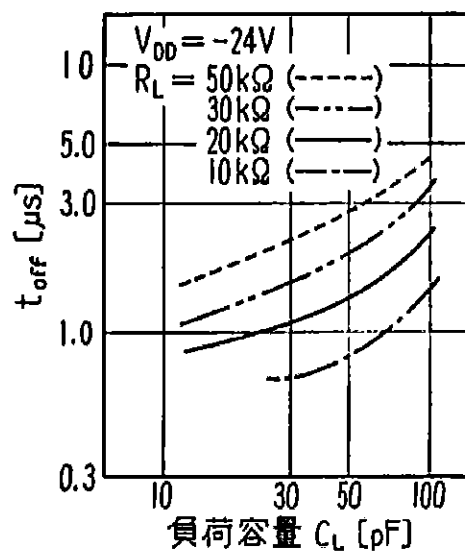


図 4 $V_{DD} - t_{on}, t_{off}$ 特性

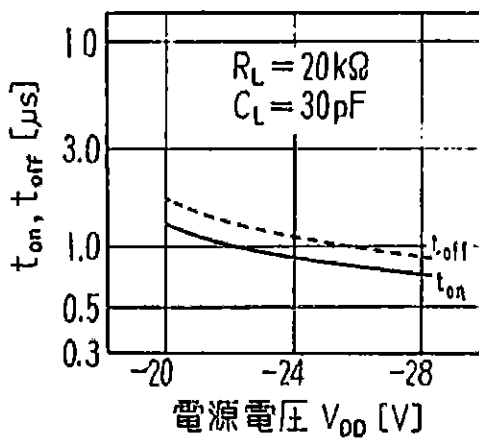
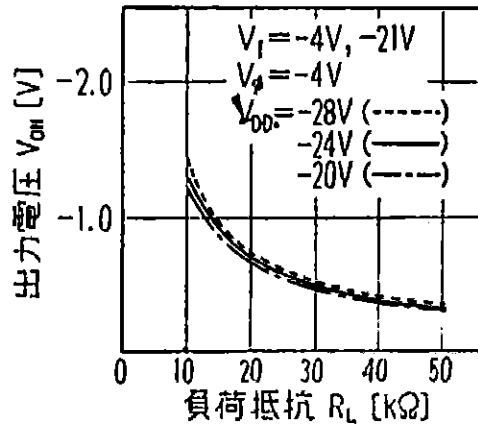


図 5 $V_{DD}, R_L - V_{OH}$ 特性



μ PD10A

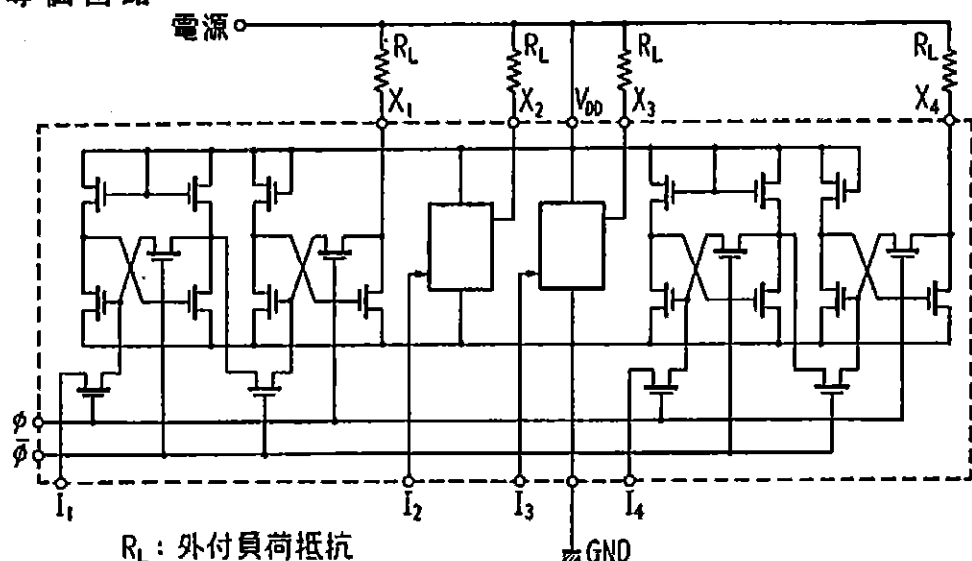
4ビットレジスタ
MOS形集積回路

○ Pチャンネル・エンハンスメント形MOS集積回路

○ 卓上計算機、カウンタ、計測器用

外形図：TO-5類似、12端子（295ページ図5）

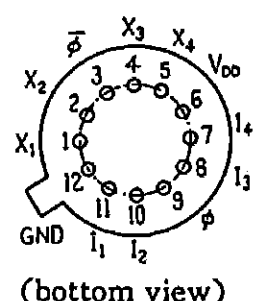
等価回路



絶対最大定格 ($T_a = 25^\circ\text{C}$)

項目	略号	定格	単位
電源電圧	V_{DD}	-28~0	V
入力電圧	V_I	-28~0	V
動作温度	T_{opt}	-20~+75	°C
保存温度	T_{stg}	-55~+150	°C

端子接続



集積回路

電気的特性 ($T_a = 25^\circ\text{C}$, $V_{DD} = -24\text{V}$, $R_L = 20\text{k}\Omega$)

項目	略号	条件	最小	標準	最大	単位
消費電力	P_d	ハイレベル出力時 (負荷抵抗での消費も含む)		120		mW
入力電圧 ハイレベル ロウレベル	V_{IH} V_{IL}		-9		-4	V
クロック パルス	$V_{\phi H}$ $V_{\phi L}$ パルス幅		-17		-4	V
	P_w	図1参照	1.0			μs
出力電圧 ハイレベル ロウレベル	V_{OH} V_{OL}	$V_I = -4\text{V}, V_\phi = -2, -21\text{V}$ $V_I = -9\text{V}, V_\phi = -2, -21\text{V}$			-2	V
電圧雑音 余裕度	V_{NH} V_{NL}		2			V
ターンオン時間 ターンオフ時間	t_{on} t_{off}	$C_L = 30\text{pF}$ 図2参照 $C_L = 30\text{pF}$ 図2参照			2.0	μs
入力抵抗 (データ入力および クロック入力)	R_i	$V_T = -20\text{V}$	1			$M\Omega$
入力容量 データ入力 クロック入力	C_i C_ϕ	$f = 1\text{MHz}$			5.0	pF
出力容量	C_o	$f = 1\text{MHz}, V_{DD} = \text{GND}$			8.0	pF

※ ダイナミック動作の場合は -3.0Vmax .

図1 クロックパルス幅の定義

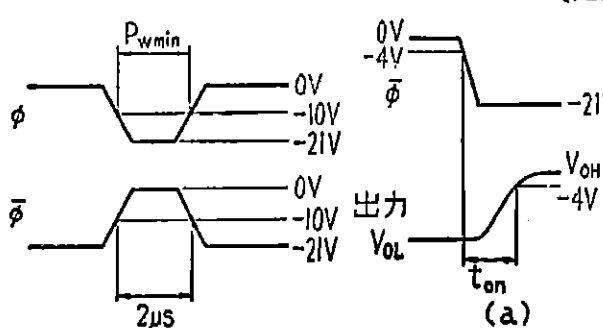
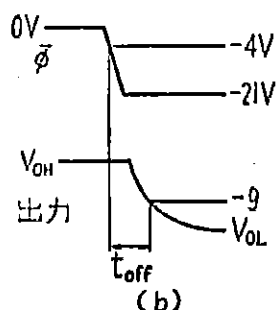


図2 t_{on} , t_{off} の定義

(ただし $\bar{\phi}$ の t_r, t_f は 30ns 以下)



動作波形

図3 スタティック動作波形(a)とダイナミック動作波形(b)

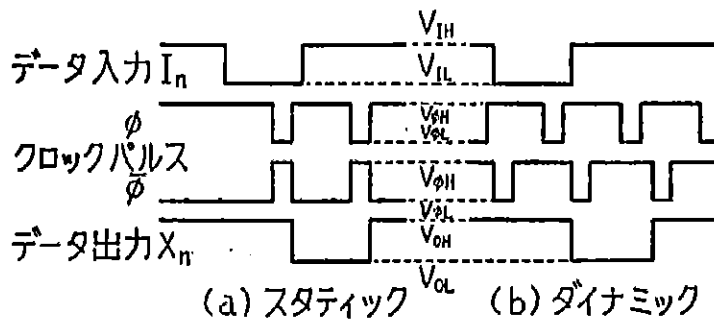
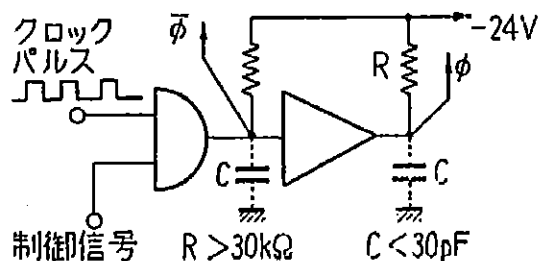


図4 ϕ , $\bar{\phi}$ のつくり方



特性曲線 ($T_a = 25^\circ\text{C}$)

図5 R_L , C_L — t_{on} 特性

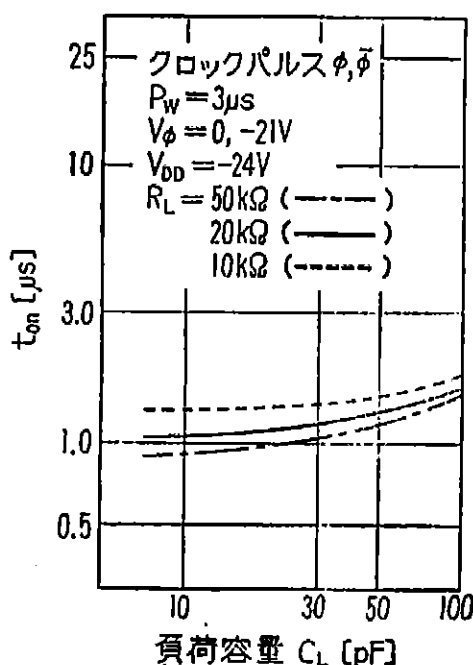
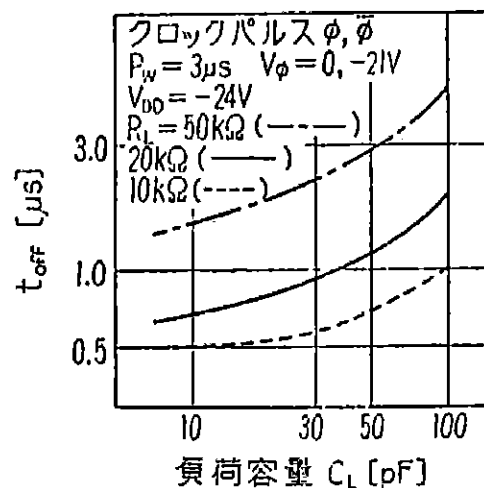


図6 R_L , C_L — t_{off} 特性



集積回路

図 7 V_{DD} - t_{on} , t_{off} 特性

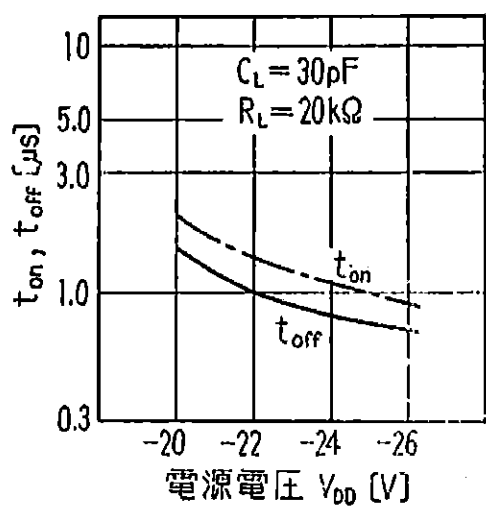
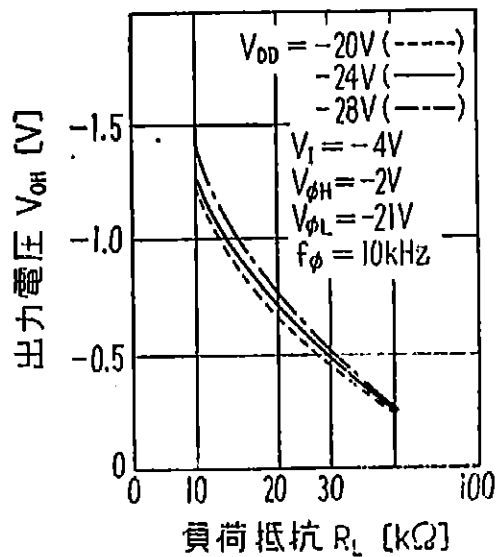


図 8 V_{DD} , R_L - V_{OH} 特性

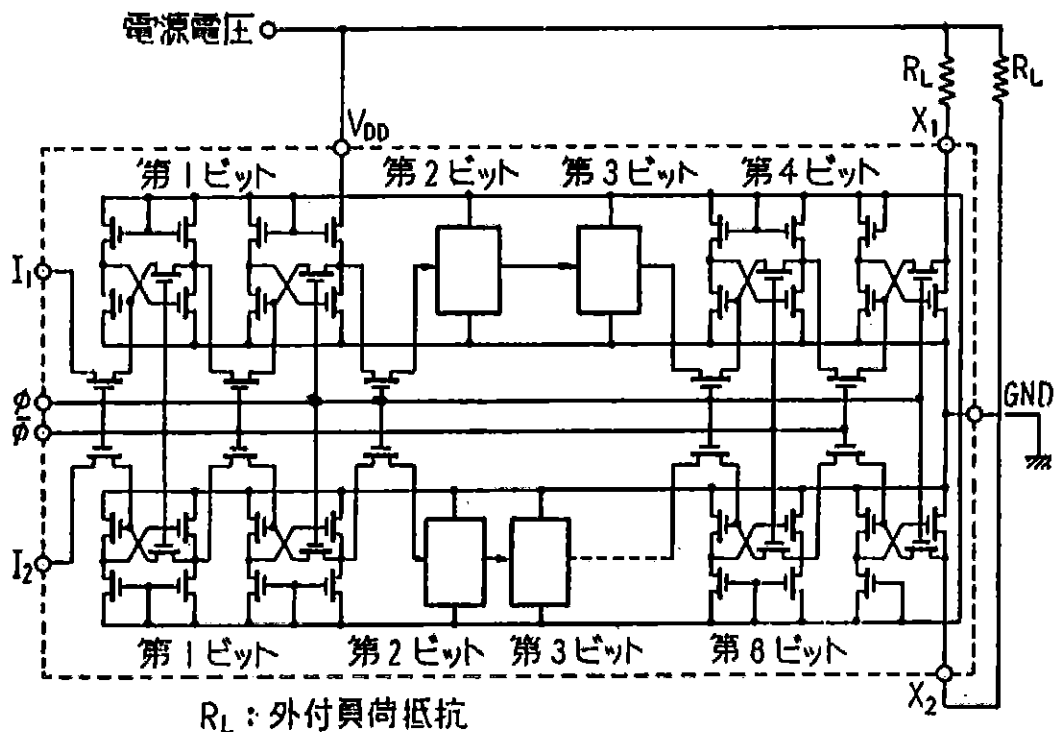


μ PD11A

4 + 8 ビットシフトレジスタ
MOS形集積回路

- Pチャンネル・エンハンスマント形MOS集積回路
- 卓上計算機、カウンタ、計測器用
- 外形図: TO-5類似、10 端子 (295ページ図4)

等価回路

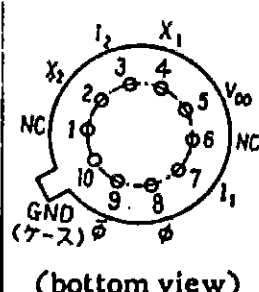


R_L : 外付負荷抵抗

絶対最大定格 ($T_a=25^\circ\text{C}$)

項目	略号	定格	単位
電源電圧	V_{DD}	-28~0	V
入力電圧	V_I	-28~0	V
動作温度	T_{opt}	-20~+75	°C
保存温度	T_{stg}	-55~+150	°C

端子接続



集積回路

電気的特性 ($T_a=25^\circ\text{C}$, $V_{DD}=-24\text{V}$, $R_L=30\text{k}\Omega$)

項目	略号	条件	最小	標準	最大	単位
消費電力	P_d	ハイレベル出力時 (負荷抵抗での消費も含む)		105		mW
入力電圧 ハイレベル ロウレベル	V_{IH} V_{IL}		-9		-4	V
クロック パルス	ハイレベル ロウレベル パルス幅	$V_{\phi H}$ $V_{\phi L}$ P_w		-17	-4	V V μs
出力電圧 ハイレベル ロウレベル	V_{OH} V_{OL}	$V_{IH}=-4\text{V}, V_{\phi}=-2, -21\text{V}$ $V_{IL}=-9\text{V}, V_{\phi}=-2, -21\text{V}$	-21		-2	V V
電圧雑音 余裕度	ハイレベル ロウレベル	V_{NH} V_{NL}		2		V V
ターンオン時間 ターンオフ時間	t_{on} t_{off}	$C_L=30\text{pF}$ 図2参照 $C_L=30\text{pF}$ 図2参照			2.0	μs
入力(データ入力および クロック入力)	R_I	$V_T=-20\text{V}$	1			MΩ
入力容量 データ入力 クロック入力	C_I C_{ϕ}	$f=1\text{MHz}$ $f=1\text{MHz}$			5.0	pF
出力容量	C_o	$f=1\text{MHz}, V_{DD}=\text{GND}$			9.0	pF
					5.0	pF

※ ダイナミック動作の場合は -3V_{max} 。

図1 クロックパルス幅の定義

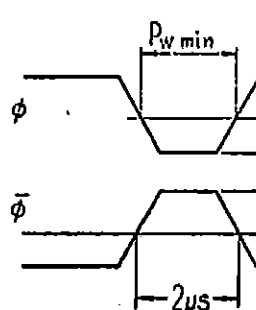
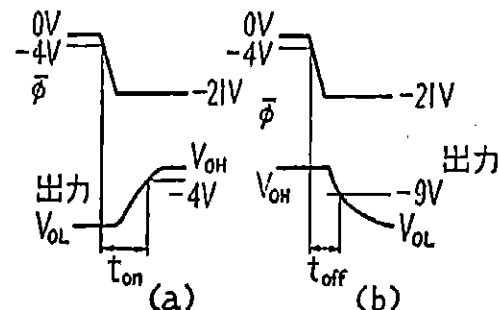


図2 t_{on} , t_{off} の定義



動作波形 (8ビット系)

図3 8ビット系動作例 (a) スタティック動作 (b) ダイナミック動作

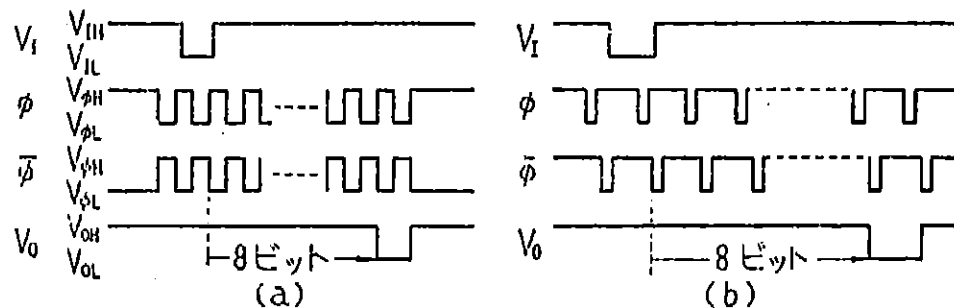


図4 $\phi, \bar{\phi}$ のつくり方

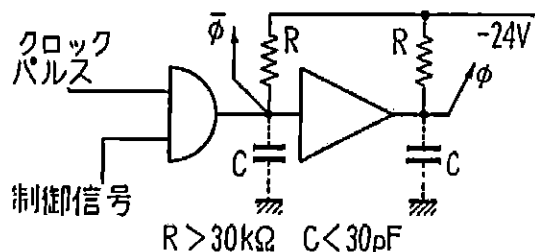


図5 $R_L, C_L - t_{on}$ 特性

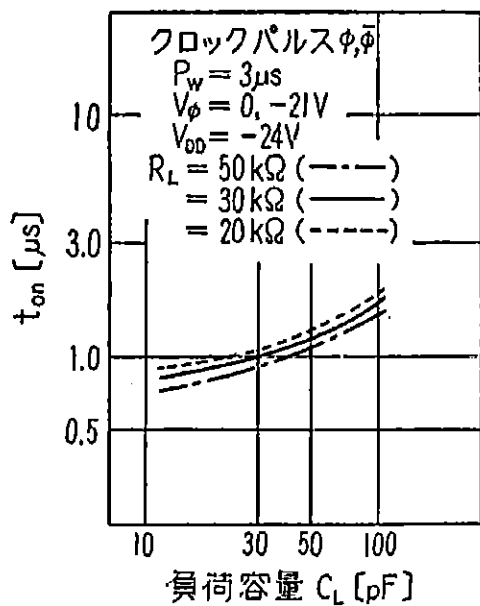
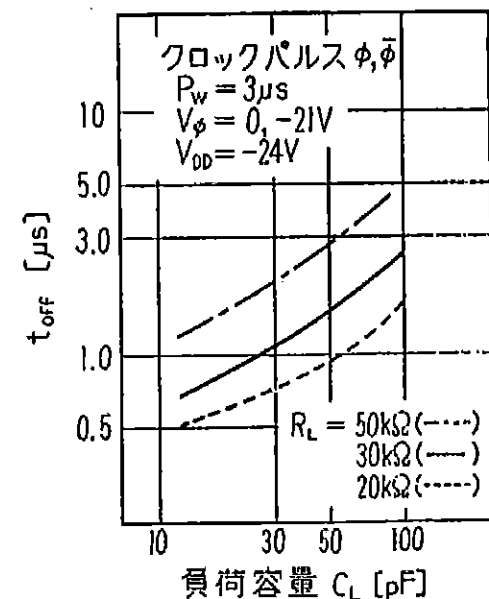


図6 $R_L, C_L - t_{off}$ 特性



集積回路

図 7 V_{DD} - t_{on} , t_{off} 特性

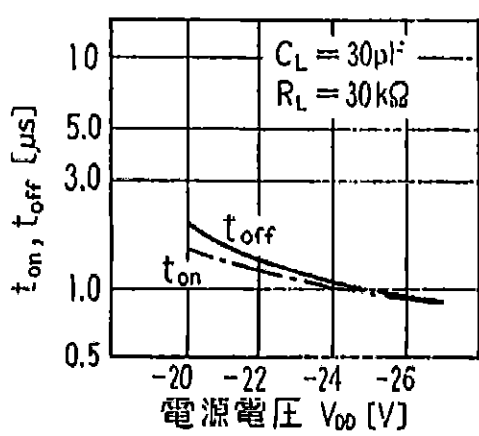
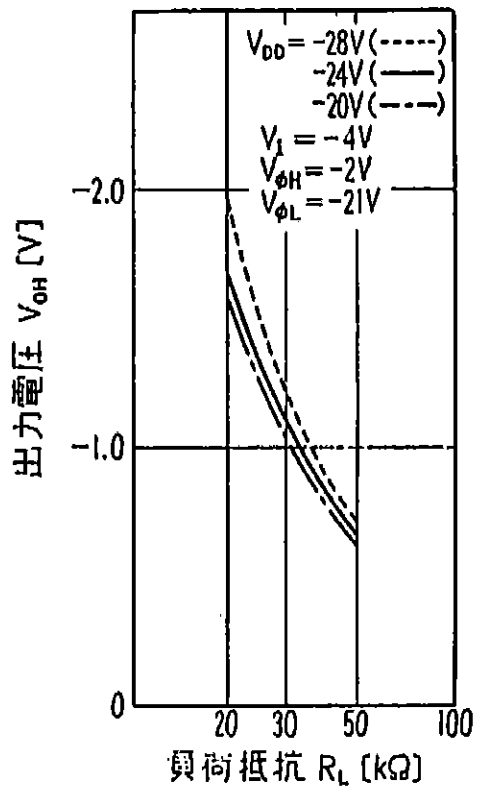


図 8 V_{DD} , R_L - V_{OH} 特性



μ PD12A

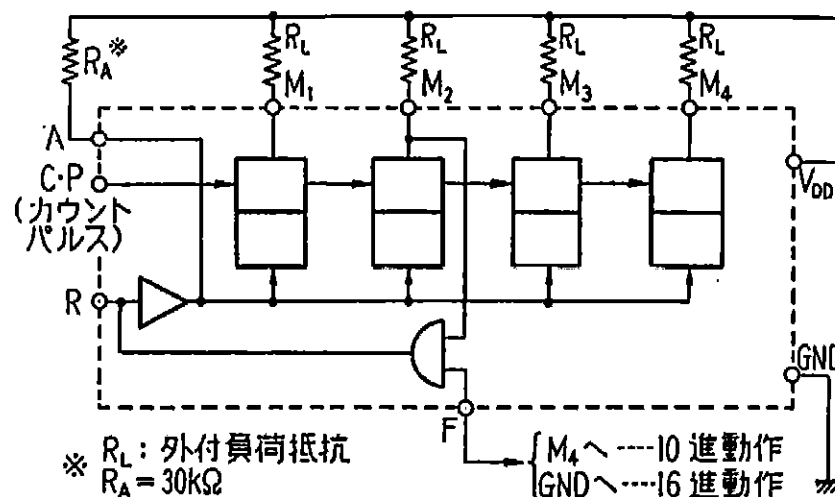
BCDカウンタ MOS形集積回路

○ Pチャンネル・エンハンスマント形MOS集積回路

○ 卓上計算機、カウンタ、計測器用

外形図：TO-5類似、10端子（295ページ図4）

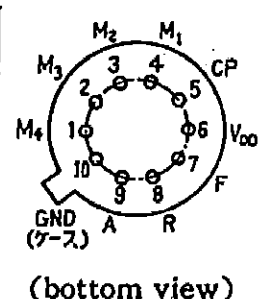
ブロックダイアグラム



絶対最大定格 ($T_a=25^\circ\text{C}$)

項目	略号	定格	単位
電源電圧	V_{DD}	-28~0	V
入力電圧	V_I	-28~0	V
動作温度	T_{opt}	-20~+75	°C
保存温度	T_{stg}	-55~+150	°C

端子接続

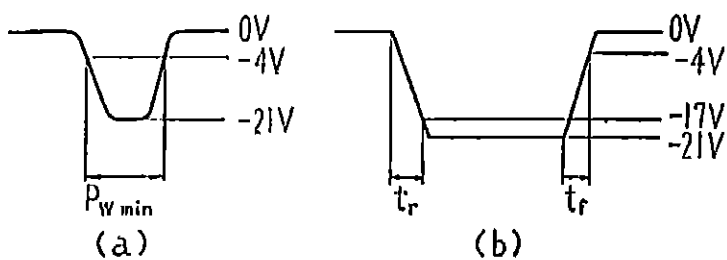


集積回路

電気的特性 ($T_a=25^{\circ}\text{C}$, $V_{DD}=-24\text{V}$, $R_L=30\text{k}\Omega$)

項目	略号	条件	最小	標準	最大	単位
消費電力	P_d	ハイレベル出力時 (負荷抵抗での消費も含む)		110		mW
入力電圧 ハイレベル	V_{IH}				-4	V
ロウレベル	V_{IL}		-17			V
パルス幅	P_w	図1参照	0.2			μs
立上り時間	t_r	図1参照			40	μs
立下り時間	t_f	図1参照			40	μs
出力電圧 ハイレベル	V_{OH}				-2	V
ロウレベル	V_{OL}		-21			V
電圧雑音 余裕度	V_{NH}		2			V
ロウレベル	V_{NL}		4			V
リセット電圧	V_R				-4	V
入力一出力4, 遅延時間	t_{pd}	$C_L=10\text{pF}/\text{bit}$ 図2参照		1.5	2.5	μs
10進応答周波数	f_{max}	$C_L=10\text{pF}/\text{bit}$	100	210		kHz
入力抵抗	R_I	$V_T=-20\text{V}$	1			$M\Omega$
入力容量	$C_{CP.R.F}$	$f=1\text{MHz}$			6.0	pF
出力容量	C_O	$f=1\text{MHz}, V_{DD}=\text{GND}$			8.0	pF

図1 カウントパルスの P_{wmin} (a), および t_r , t_f (b) の定義
ただし, P_{wmin} 測定時 (a) のカウントパルスの立上り,
立下り時間は 30ns



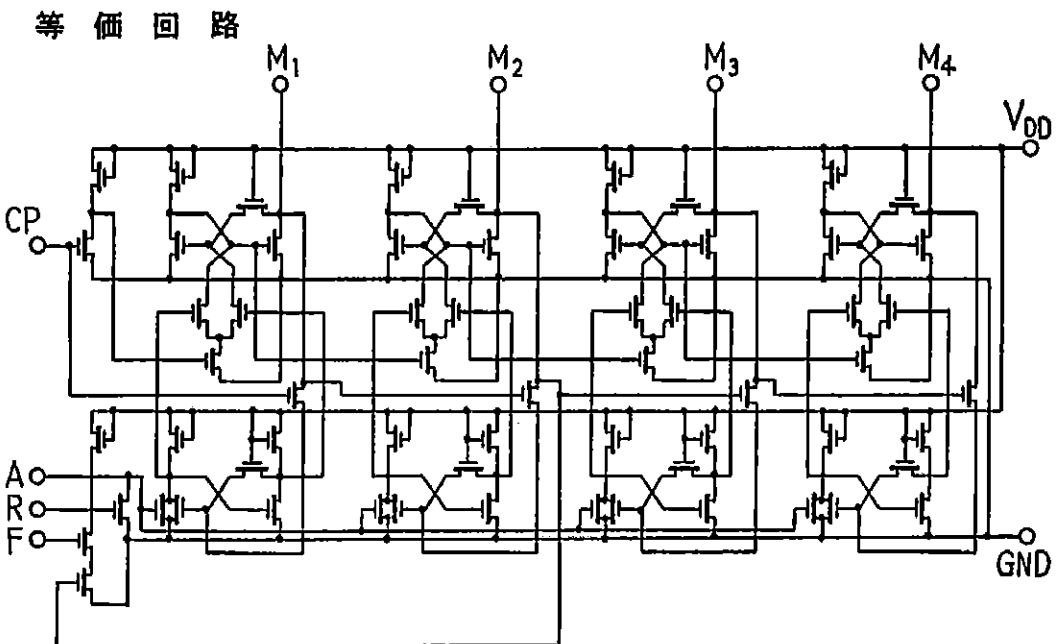


図 2 10進タイムチャート (t_{pd} の定義)

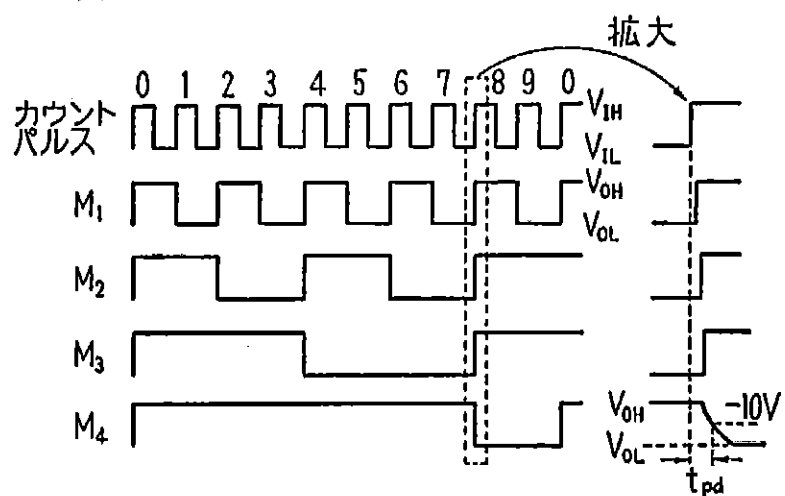
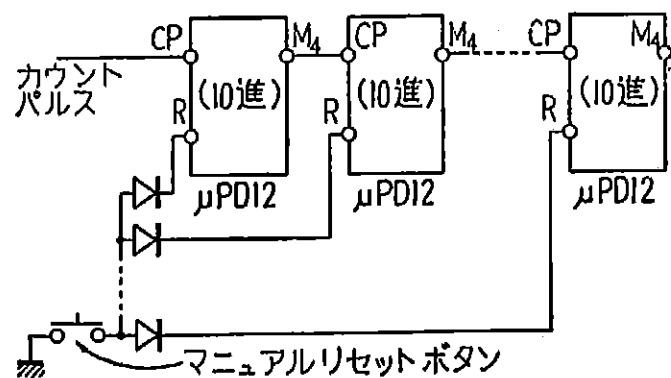


図 3 10進動作におけるマニュアルリセット方法



集積回路

図 4 $R_L \cdot C_L - 10$ 進 f_{max} 特性

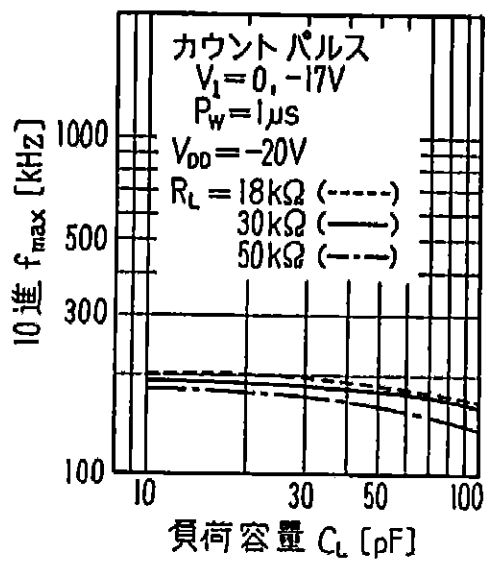


図 5 $R_L \cdot C_L - t_{pd}$ 特性

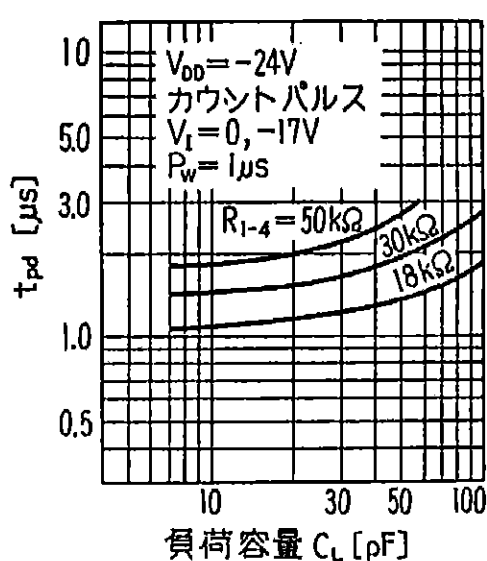


図 6 $V_{DD} - t_{pd}$ 特性

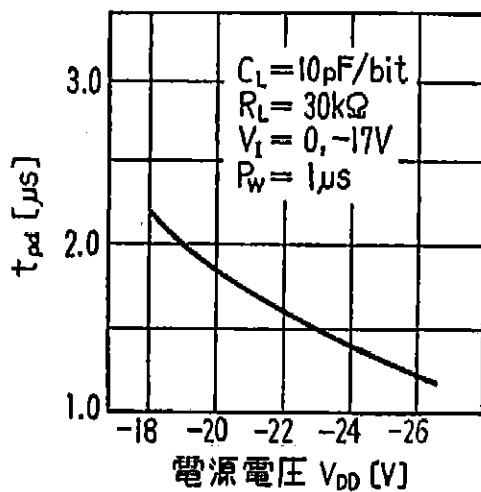


図 7 $V_{DD} - 10$ 進 f_{max} 特性

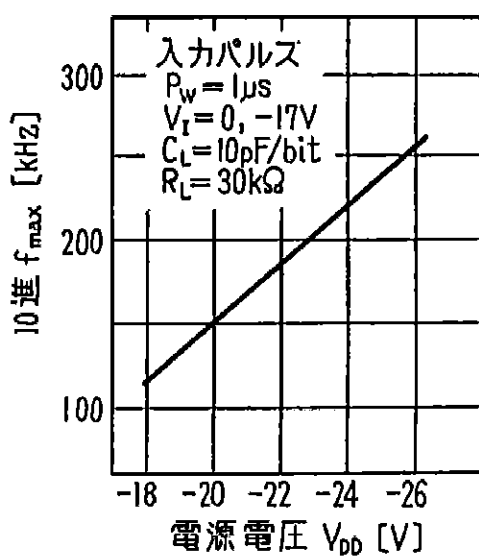
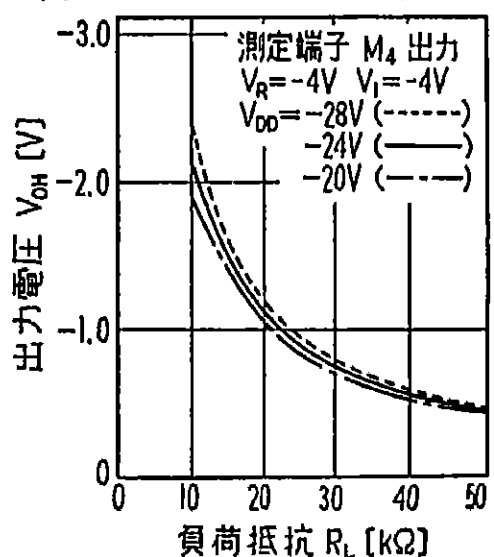


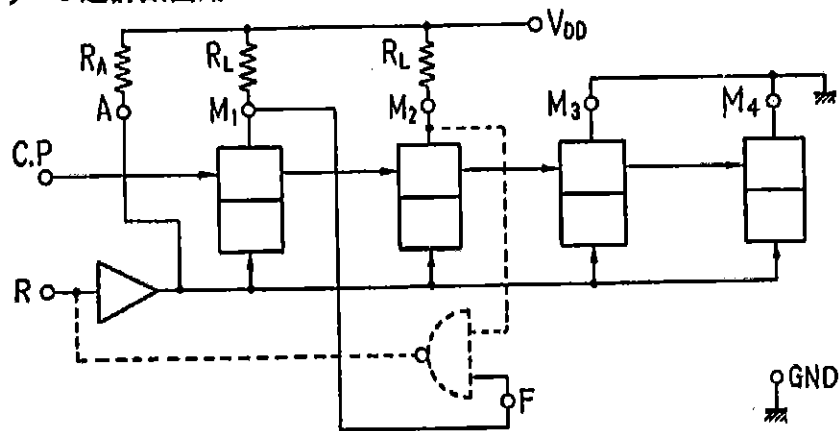
図 8 V_{DD} , R_L — V_{OH} 特性



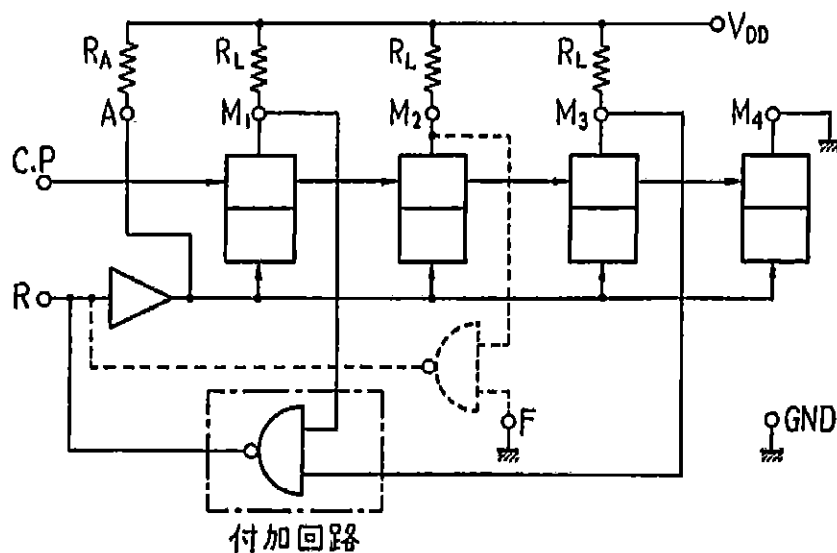
集積回路

応用例（各計数回路のブロック図）

(1) 3進計数回路

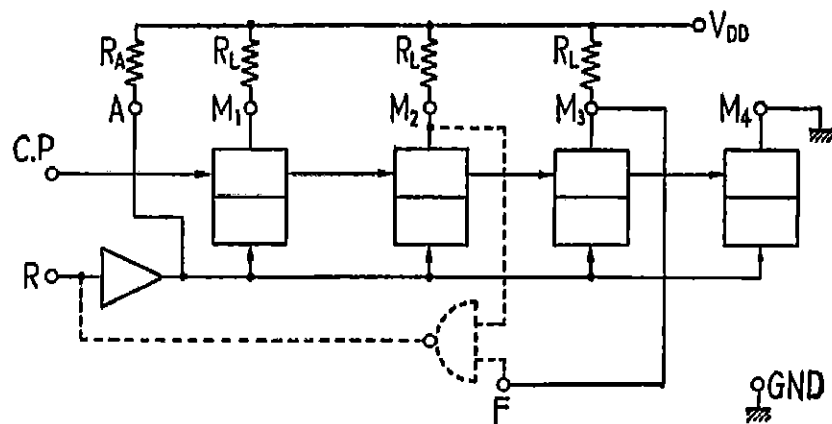


(2) 5進計数回路

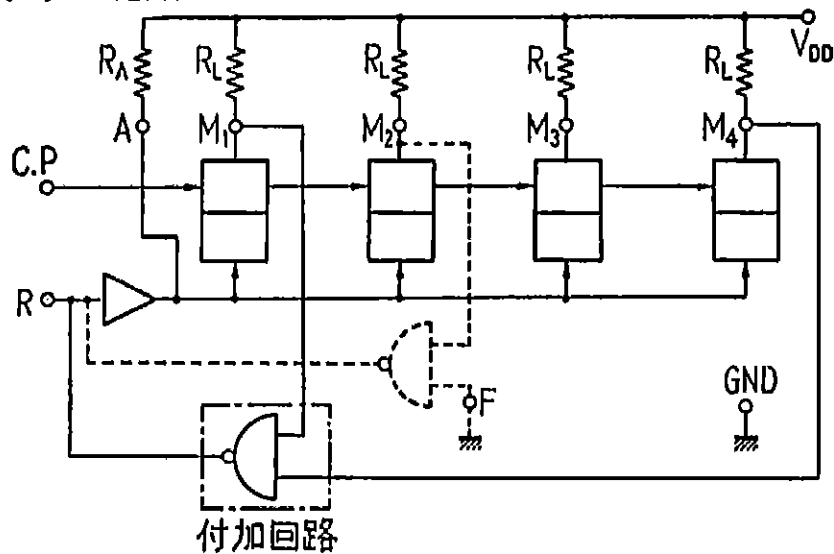


付加回路 3SJ11×2 ($R_L=30k\Omega$, $V_{OL}<0.17V$)

(3) 6進計数回路

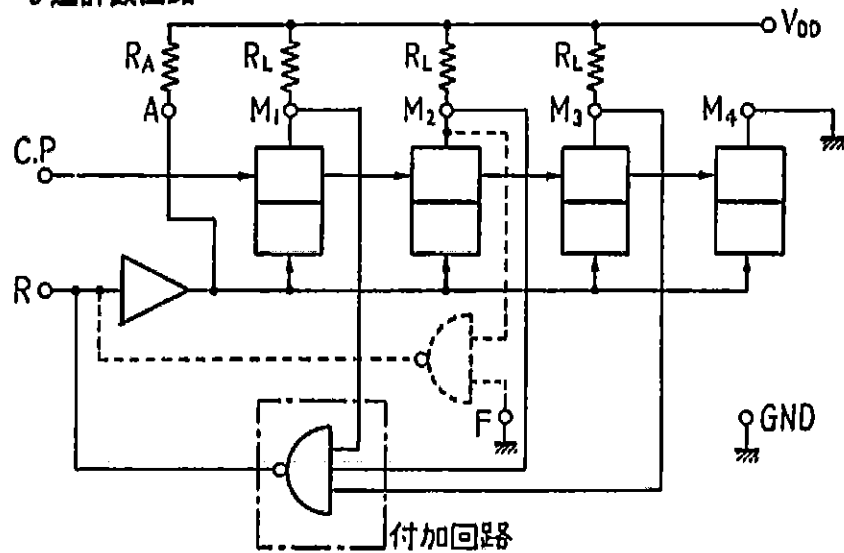


(4) 7進計数回路



附加回路 μ PD15×½, μ PD13×½ (or 3SJ11×3) ($R_L = 20\text{k}\Omega$)

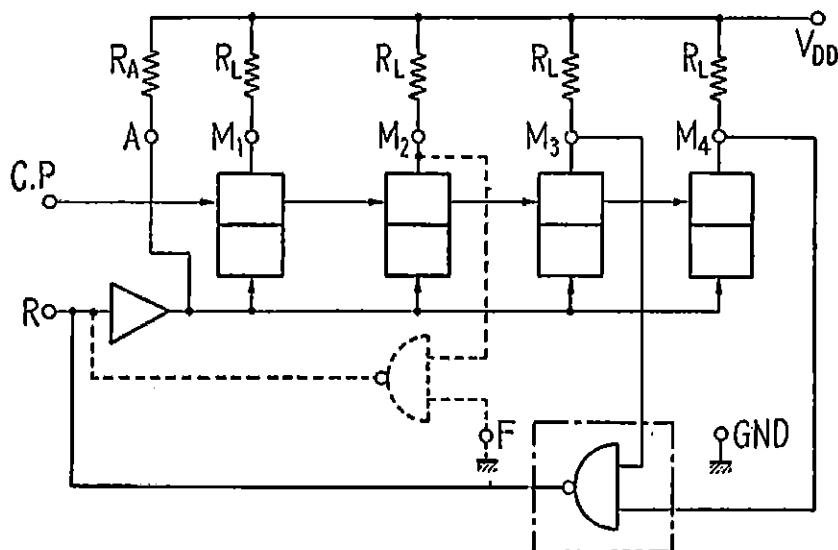
(5) 9進計数回路



附加回路 3SJ11×2 ($R_L = 30\text{k}\Omega$, $V_{IL} < -17\text{V}$)

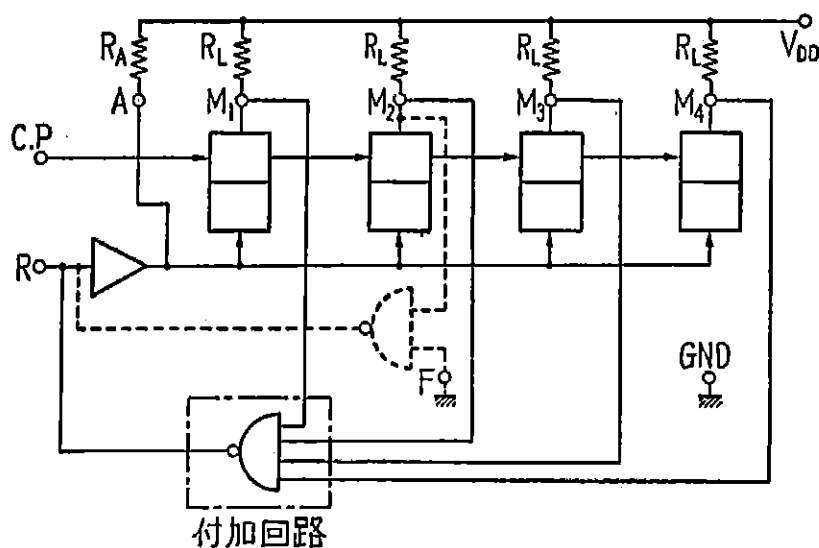
集積回路

(6) 12進計数回路



附加回路 3SJ11×2 ($R_L = 30k\Omega$, $V_{OL} < -17V$)

(7) 15進計数回路



附加回路 $\mu PD15 \times \frac{1}{2}$, $\mu PD13 \times \frac{1}{2}$ (or 3SJ11×4) ($R_L = 20k\Omega$)

μ PD13A

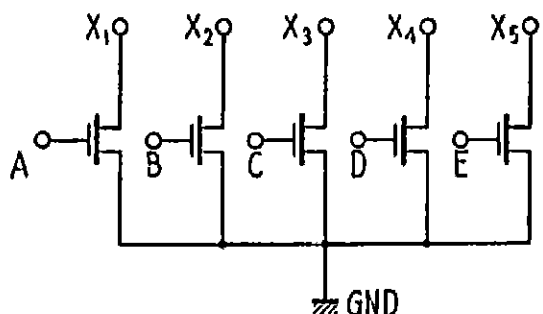
5 Inverter
MOS形集積回路

○ Pチャンネル・エンハンスマント形MOS集積回路

○ 車上計算機、カウンタ、計測器用

外形図：TO-5類似、12 端子（295ページ図5）

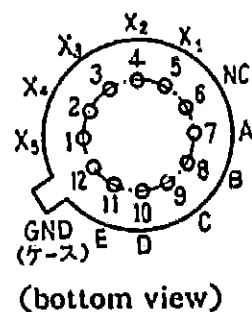
等価回路



絶対最大定格

項目	略号	定格	単位
電源電圧	V_{DD}	-28~0	V
入力電圧	V_I	-28~0	V
動作温度	T_{opt}	-20~+75	°C
保存温度	T_{stg}	-55~+150	°C

端子接続



集積回路

電気的特性 ($T_a=25^{\circ}\text{C}$, $V_{DD}=-24\text{V}$, $R_L=20\text{k}\Omega$)

項目	略号	条件	最小	標準	最大	単位
消費電力	P_d	ハイレベル出力時 (負荷抵抗での消費も含む)		140		mW
入力電圧 ハイレベル ロウレベル	V_{IH} V_{IL}		-12		-4	V
出力電圧 ハイレベル ロウレベル	V_{OH} V_{OL}	$V_{IH}=-12\text{V}$ $V_{IL}=-4\text{V}$	-21		-2	V
入力抵抗	R_i	$V_T=-20\text{V}$	1			MΩ
入力容量	C_i	$f=1\text{MHz}$			10	pF
出力容量	C_o	$f=1\text{MHz}, V_{DD}=\text{GND}$			10	pF
ターンオン時間	$t_{pd(on)}$	図1参照		0.4	0.7	μs
ターンオフ時間	$t_{pd(off)}$	図1参照		0.2	0.5	μs
電圧雑音 余裕度	V_{NH} V_{NL}	ハイレベル ロウレベル	2			V
			9			V

図1 $t_{pd(on)}$, $t_{pd(off)}$ の定義

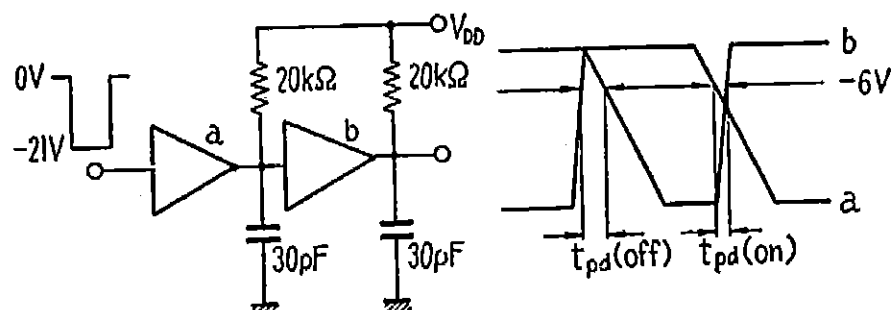


図 2 $V_I - V_o$ 特性

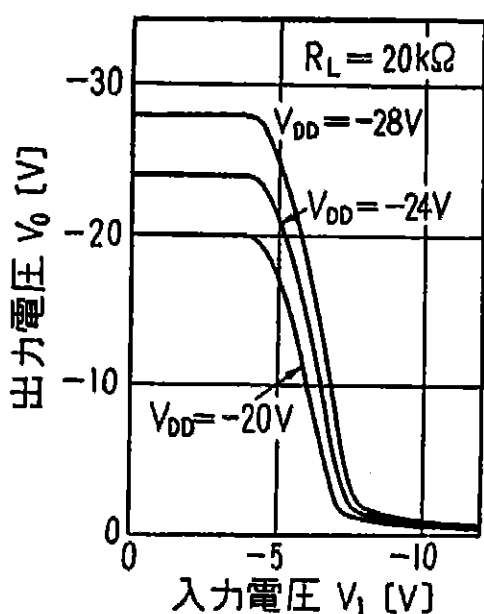


図 3 $V_{IL}, R_L - V_{OH}$ 特性

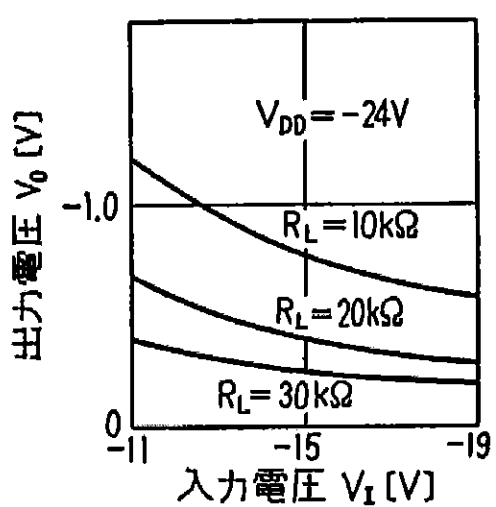
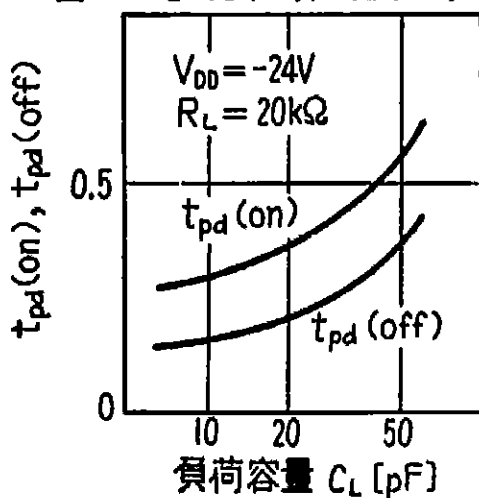


図 4 $C_L, t_{pd(on)}, t_{pd(off)}$ 特性



μ PD14A, 15A

μ PD14A Dual 2 AND 2 OR/2 OR 2 AND Gate

μ PD15A Dual 4 AND/OR Gate

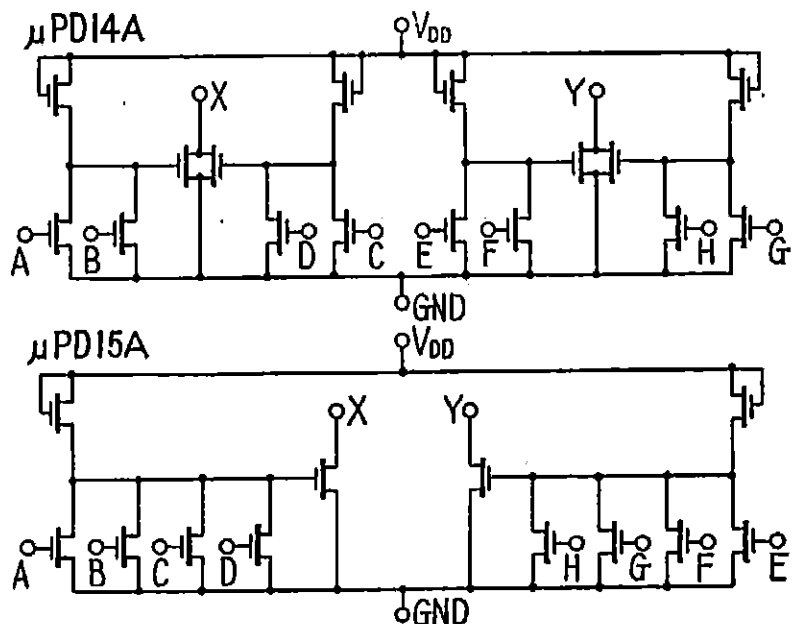
MOS形集積回路

○ Pチャンネル・エンハンスマント形MOS集積回路

○ 卓上計算機、カウンタ、計測器用

外形図: TO-5類似, 12 端子 (295ページ図5)

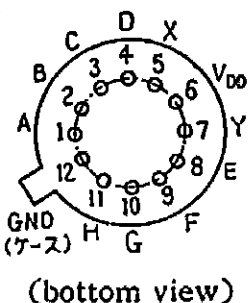
等価回路



絶対最大定格

項目	略号	定格	単位
電源電圧	V _{DD}	-28~0	V
入力電圧	V _I	-28~0	V
動作温度	T _{opt}	-20~+75	°C
保存温度	T _{stg}	-55~+150	°C

端子接続



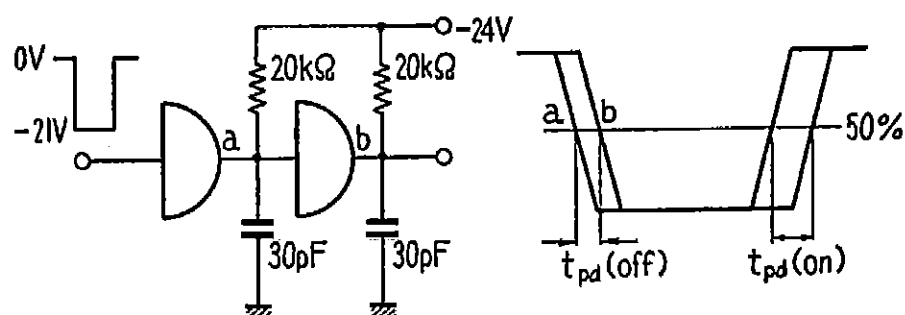
電気的特性 ($T_a=25^{\circ}\text{C}$, $V_{DD}=-24\text{V}$, $R_L=20\text{k}\Omega$)

項目	略号	条件	最小	標準	最大	単位
消費電力	P_d	ハイレベル出力時 (負荷抵抗での消費も含む)		56		mW
入力電圧 { ハイレベル ロウレベル}	V_{IH}			-4		V
	V_{IL}		-9		-2	V
出力電圧 { ハイレベル ロウレベル}	V_{OH}	$V_{IL}=-4\text{V}$			-2	V
	V_{OL}	$V_{IH}=-9\text{V}$	-21		-2	V
入力抵抗	R_i	$V_T=-20\text{V}$	1			$\text{M}\Omega$
入力容量	C_i	$f=1\text{MHz}$			6	pF
出力容量	C_o	$f=1\text{MHz}, V_{DD}=\text{GND}$			8	pF
ターンオン時間	$t_{pd(on)}$	図1参照 他の端子はGND		0.6	1.5	μs
ターンオフ時間	$t_{pd(off)}$	図1参照 他の端子はGND		0.3	0.6	μs

μ PD14A は -4V を論理 “1” とすれば 2 AND 2 OR として動作し, -4V を論理 “0” とすれば 2 OR 2 AND として動作します。

μ PD15A は -4V を論理 “1” とすれば 4 AND として動作し, -4V を論理 “0” とすれば 4 OR として動作します。

図1 $t_{pd(on)}$, $t_{pd(off)}$ の定義



集積回路

図 2 $V_I - V_O$ 特性

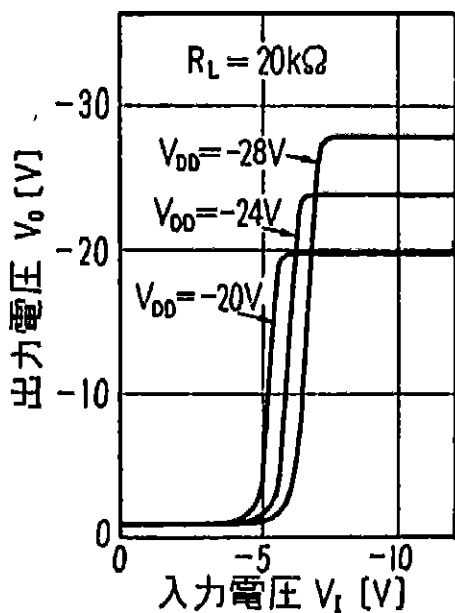


図 3 $V_{DD}, R_L - V_{OH}$ 特性

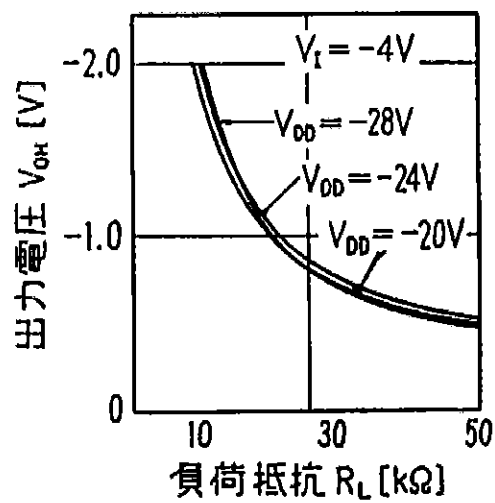
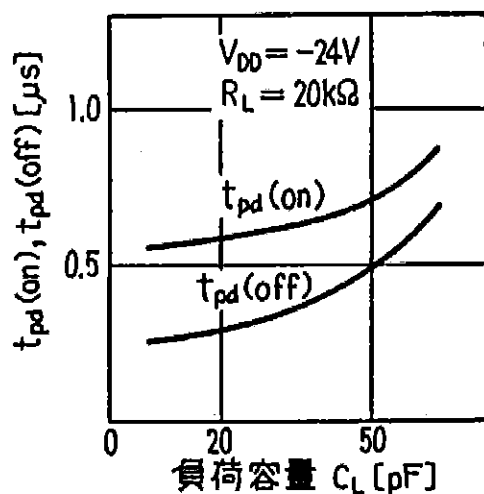


図 4 $C_L - t_{pd(on)}, t_{pd(off)}$ 特性



μ PD16A

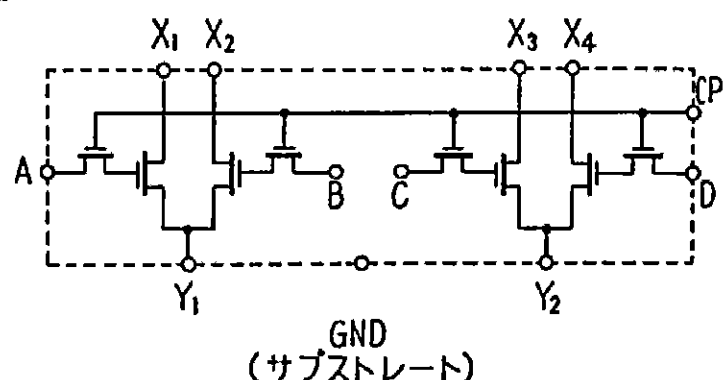
4ゲートインバータメモリ
MOS形集積回路

○ Pチャンネル・エンハンスマント形MOS集積回路

○ 頂上計算機、カウンタ、計測器用

外形図：TO-5類似、12端子（295ページ図5）

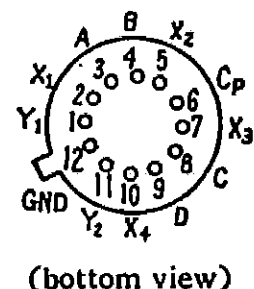
等価回路



絶対最大定格 ($T_a=25^{\circ}\text{C}$)

項目	略号	定格	単位
電源電圧	V _{DD}	-28~0	V
入力電圧	V _I	-28~0	V
動作温度	T _{opt}	-20~+75	°C
保存温度	T _{stg}	-55~+150	°C

端子接続



集積回路

電気的特性 ($T_a=25^\circ\text{C}$, $V_{DD}=-24\text{V}$, $R_L=20\text{k}\Omega$)

項目	略号	条件	最小	標準	最大	単位
消費電力	P_d	負荷抵抗での電力消費も含む。すべてON状態		120		mW
入力電圧 {	V_{IH}			-4.0		V
ハイレベル	V_{IL}		-12			V
ロウレベル						
CP端子入力電圧 {	V_{CPH}			-4.0		V
ハイレベル	V_{CPL}		-22			V
ロウレベル						
出力電圧 {	V_{OH}	$V_{IH}=-12\text{V}$		-2.0		V
ハイレベル	V_{OL}	$V_{IL}=-4.0\text{V}$	-21			V
ロウレベル						
入力抵抗	R_I	$V_I=-20\text{V}$	1			MΩ
入力容量	C_I	$V_I=0\text{V}, V_{CP}=-24\text{V}$		10		pF
出力容量	C_O	$V_O=0\text{V}, V_{DD}=0\text{V}$		10		pF
ターンオン時間	t_{on}	図1参照		0.3	0.8	μs
ターンオフ時間	t_{off}			0.7	1.0	μs
雜音余裕度 {	V_{NH}		9.0			V
ハイレベル	V_{NL}		2.0			V
ロウレベル						
メモリ保持時間	T_s	$CP=-24\text{V}, t_w=2\mu\text{s}$ $V_I=-12\text{V}$, 図1参照	500			μs

図1 スイッチング・タイムの定義

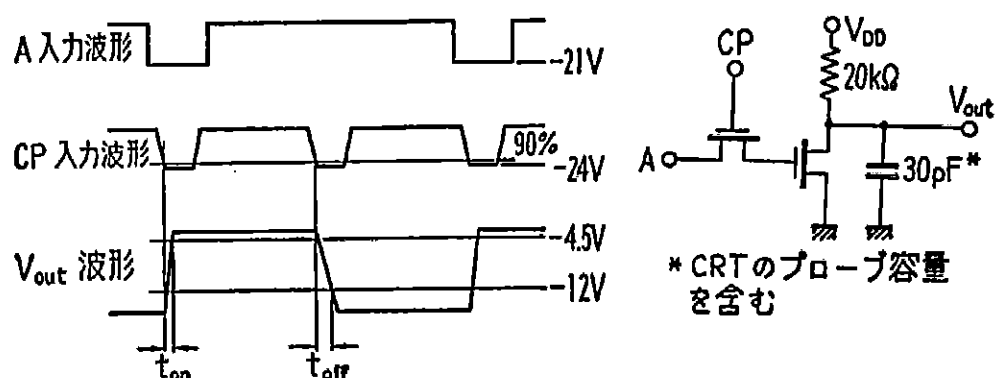


図 2 入出力特性(1)

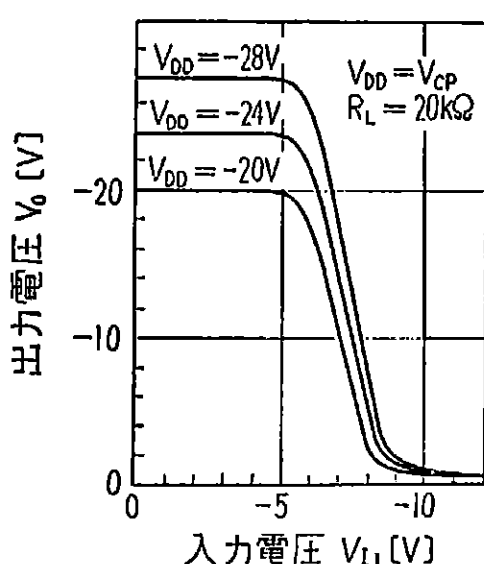


図 3 入出力特性(2)
(R_L パラメータ)

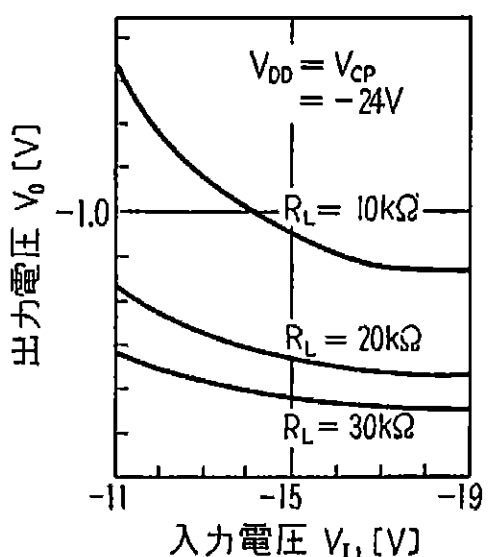


図 4 入出力特性(2)
 $V_{CP}-V_o$ 特性

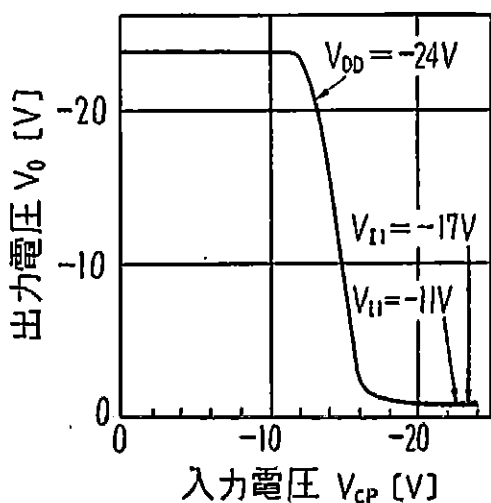
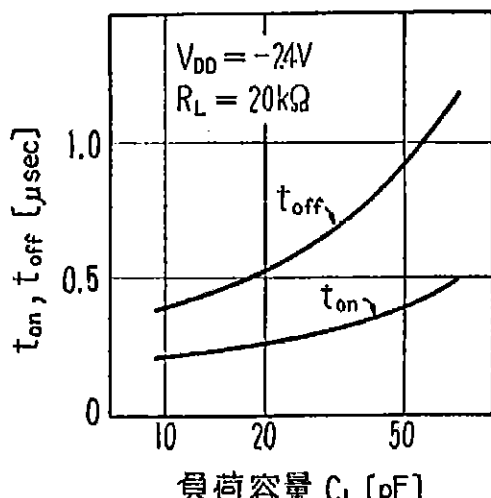


図 5 スイッチング特性
 $t_{on}, t_{off}-C_L$ 特性

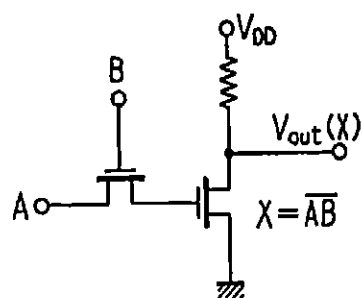


集積回路

使用例

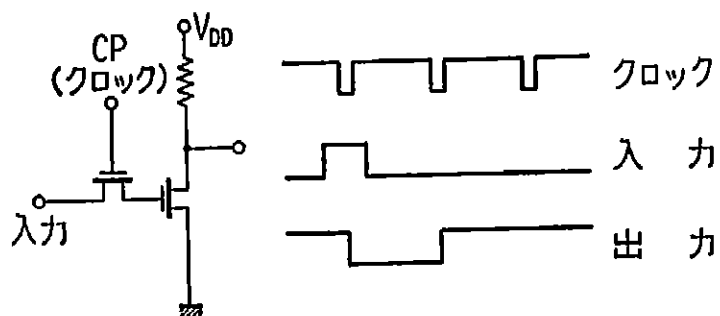
1. ゲート・インバータとしての使い方

図 6



2. ダイナミック・メモリとしての使い方

図 7



μ PD101C, 102C

μ PD101C Quad 2 AND Gate

μ PD102C Triple 3 AND Gate

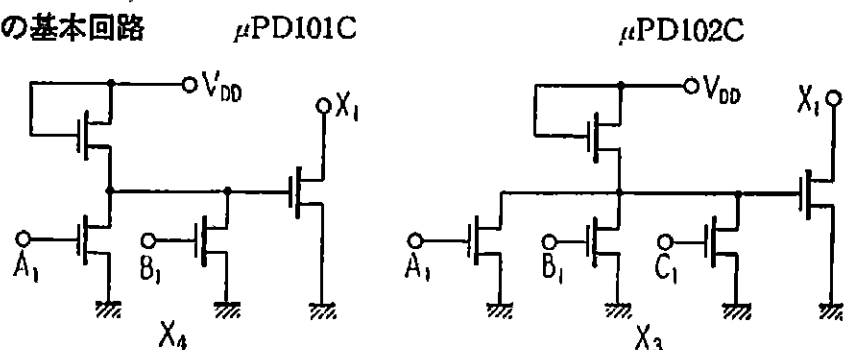
MOS形集積回路

○ Pチャンネル・エンハンスマント形MOS集積回路

○ 卓上計算機、カウンタ、計測器用

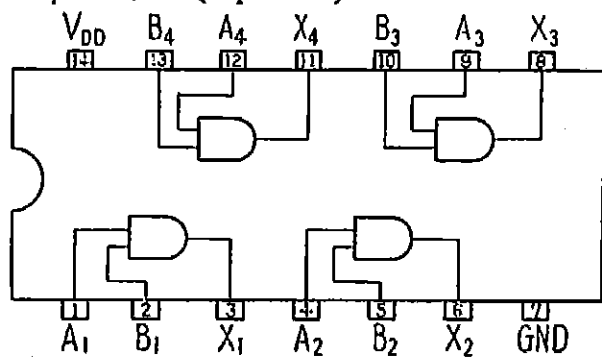
外形図:DIP, 14端子(296ページ図12)

ゲートの基本回路

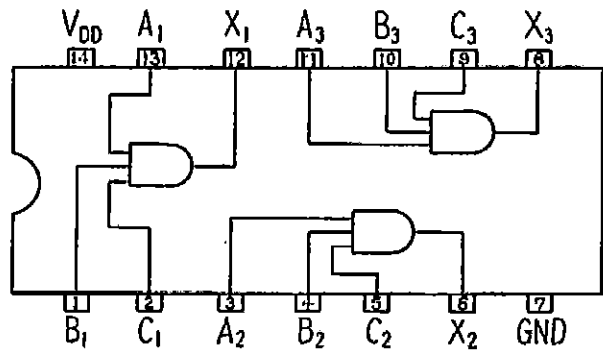


端子接続

μ PD101C (top view)



μ PD102C (top view)



集積回路

絶対最大定格 ($T_a=25^{\circ}\text{C}$)

項目	略号	規格
電源電圧	V_{DD}	-30V
入力電圧	V_I	-30V
動作温度	T_{opt}	-20~+75°C
保存温度	T_{stg}	-55~+125°C

電気的特性 ($T_a=25^{\circ}\text{C}$, $V_{DD}=-24\text{V}\pm10\%$)

項目	略号	条件	最小	標準	最大	単位
入力電圧高レベル	V_{IH}				-4	V
入力電圧低レベル	V_{IL}		-9			V
出力電圧高レベル	V_{OH}	$R_L=20\text{k}\Omega, I_L=-80\mu\text{A}$			-2	V
出力電圧低レベル	V_{OL}	$R_L=100\text{k}\Omega, I_L=+80\mu\text{A}$	-13.3			V
入力漏洩電流	I_{IL}	$V_T=-13.3\text{V}$			-1	μA
伝達遅延時間	$t_{pd(on)}$	(注) $R_L=20\text{k}\Omega, 30\text{pF}$			2	μs
"	$t_{pd(off)}$	(注) $R_L=20\text{k}\Omega, 30\text{pF}$			1.5	μs
入力容量	C	$V_{DD}=-24\text{V}, V_T=0\text{V}$	4			pF
出力容量	C_o	$V_{DD}=-24\text{V}, V_T=0\text{V}$	7			pF

注：開発品種ですから仕様を変更する場合があります。

t_{pd} の定義

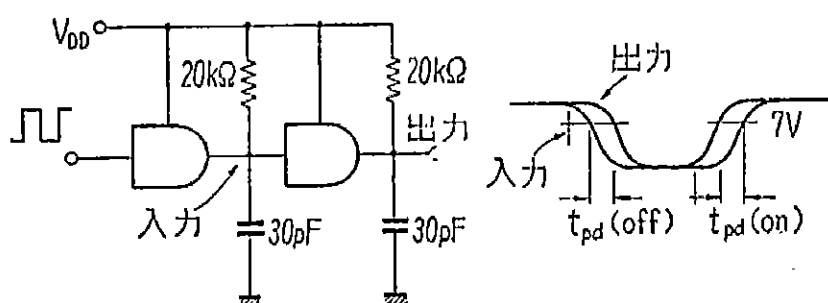


図 1 V_{DD} - V_{OH} 特性

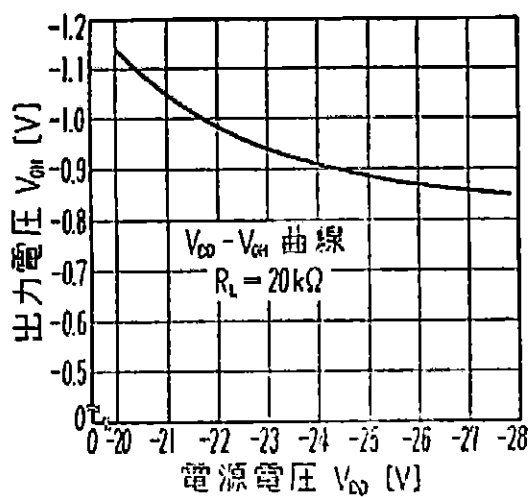


図 2 V_{DD} - $t_{pd(on)}$ 特性

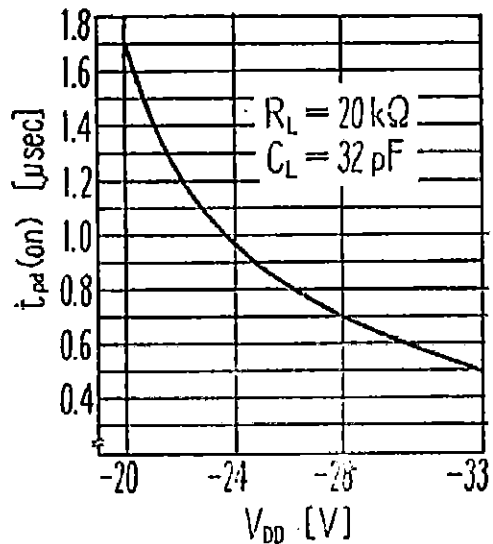


図 3 V_{DD} - $t_{pd(off)}$ 特性

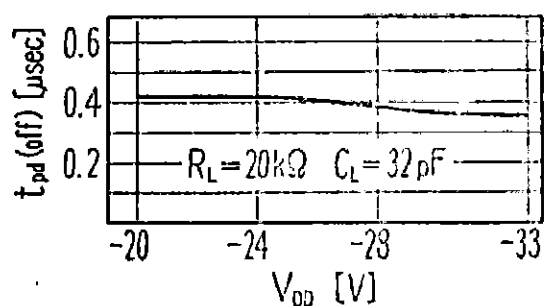
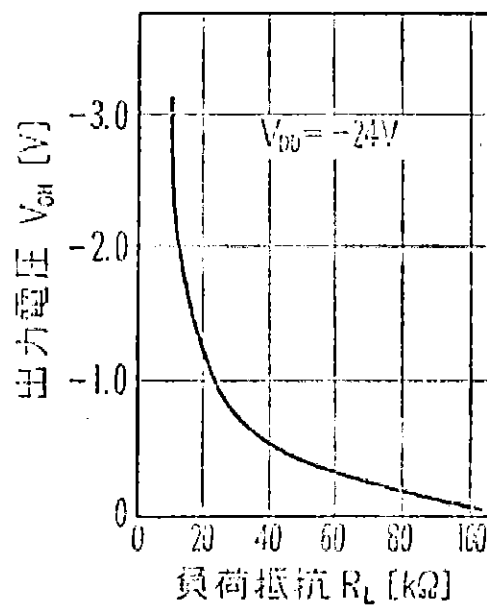


図 4 R_L - V_{OH} 特性



集積回路新製品規格表

μ PD112C	Dual Full Adder	V_{DD}	-30	V	V_{IH}		-4	V
		V_I	-30	V	V_{IL}		-2	V
	T_{opt}	-20~-+75	°C	V_{OH}	$V_{IH}=V_{ILmax}, R_L=20k\Omega,$ $I_L=-80\mu A$	-9		
		-40~-+125	°C	V_{OL}	$V_{IL}=V_{ILmin}, R_L=100k\Omega,$ $I_L=+80\mu A$	-13.3	V	
	T_{sig}			$t_{pd(on)}$	$R_L=20k\Omega, C_L=30pF$		3	μs
				$t_{pd(off)}$	$R_L=20k\Omega, C_L=30pF$		3	μs
μ PD116C	Temporary Memory	V_{DD}	-30	V	V_{IH}		-4	V
		V_I	-30	V	V_{IL}		-2	V
	I_{on}	10(max)	mA	V_{ϕ_H}		-9		
		500(max)	μA	V_{ϕ_L}	$V_I=-4V, -9V; \phi_W=2\mu s$ $V_{\phi}=-3V, -20V$	-20	V	
	T_{opt}	-20~-+75	°C	t_{II}	$V_I=-4V, -9V; \phi_W=2\mu s$ $V_{\phi}=-3V, -20V$	1.0	mA	
		-40~-+125	°C	I_{CO}	$V_I=-4V, -9V, V_{\phi_L}=-20V$ $V_O=+1V$	6	mA	
	Decoder +Numerical Indicating Tub Driver			I_{off}	$V_I=-4V, -9V, V_{\phi_L}=-20V$ $V_O=+60V$		0.1	mA

集積回路

品名	回路機能	绝对最大规格($T_a=25^{\circ}\text{C}$)				电气特性($T_a=25^{\circ}\text{C}, V_{DD}=-24V \pm 10\%$)			
		略号	定格	单位	略号	参数	件数	最小	最大
μ PDI10C	4 Transfer Gate	V_{DD}	-30	V	V_{IH}	$R_L=20\text{k}\Omega, I_L=-80\mu\text{A}$ $R_L=100\text{k}\Omega, I_L=+80\mu\text{A}$ $V_{IR}=V_{OLmin}$ $V_{TR}=V_{OHmax}$ $V_T=0\text{V}, f=1\text{MHz}$	-9 -13.3 -1 -1 -20	-4 -2 -1 -1 -20	V V nA pF pF
		V_I	-30	V	V_{IL}				
		T_{opt}	-20~-+75	°C	V_{OH}				
		T_{stg}	-40~-+125	°C	V_{OL}				
					I_{IL}				
					I_{IH}	$V_T=0\text{V}, f=1\text{MHz}$ $V_T=0\text{V}, f=1\text{MHz}$ $V_T=0\text{V}, f=1\text{MHz}$	-9 -13.3 -1 -1 -20	-4 -2 -1 -1 -20	V V nA pF pF
					C_O				
					C_S				
					C_D				
μ PDI11C	Dual J-K Flip Flop	V_{DD}	-30	V	V_{IH}	$R_L=20\text{k}\Omega, I_L=-80\mu\text{A}$ $R_L=100\text{k}\Omega, I_L=+80\mu\text{A}$ V_{PH} V_{PL} $t_{pd(on)}$	-9 -13.3 -3 -20	-4 -2 -3 -20 -20	V V V V μs
		V_I	-30	V	V_{IL}				
		T_{opt}	-20~-+75	°C	V_{OH}				
		T_{stg}	-40~-+125	°C	V_{OL}				
					V_{PH}				

集積回路新製品規格表

μ PD106C	Single 48Bit Shift Register	V_{DD}	-30	V	V_{IH}	V_{IL}	$V_{\phi H}$	$V_{\phi L}$	V_{OH}	$t_{pd(on)}$	$t_{pd(off)}$	f_{min}	kHZ
		V_I	-30	V	V_{IL}								
μ PD107C	Dual 48Bit Shift Register	T_{opt}	-20~-+75	°C	$V_{\phi H}$	$V_{\phi L}$	$V_I = V_{IH}^{max}, R_L = 20k\Omega, I_L = -80\mu A$	$V_I = V_{IL}^{min}, R_L = 100k\Omega, I_L = +80\mu A$	V_{OL}	$t_{pd(on)}$	$t_{pd(off)}$	10	kHZ
		T_{sig}	-40~-+125	°C	$V_{\phi L}$								
μ PD108C	Single 64Bit Dynamic Shift Register	V_{DD}	-30	V	V_{IH}	V_{IL}	$V_{\phi H}$	$V_{\phi L}$	V_{OH}	$t_{pd(on)}$	$t_{pd(off)}$	f_{min}	kHZ
		V_I	-30	V	V_{IL}								
μ PD109C	Dual 64Bit Dynamic Shift Register	T_{opt}	-20~-+75	°C	$V_{\phi H}$	$V_{\phi L}$	$V_I = V_{IH}^{max}, R_L = 20k\Omega, I_L = -80\mu A$	$V_I = V_{IL}^{min}, R_L = 100k\Omega, I_L = +80\mu A$	V_{OL}	$t_{pd(on)}$	$t_{pd(off)}$	10	kHZ
		T_{sig}	-40~-+125	°C	$V_{\phi L}$								

總 機 路

品名		回路機能		絕對最大定格 ($T_a=25^{\circ}\text{C}$)				電氣的特性 ($T_a=25^{\circ}\text{C}$, $V_{DD}=-24\text{V}\pm10\%$)			
		略號	定格	單位	略號	條件	件	最小	標準	最大	單位
					V_{OL} P_W	$R_L=100\text{k}\Omega$, $I_L=+80\mu\text{A}$	-13.3	2		V	
					ϕ_d f_{min}		1			μs	
							10			μs	
										kHz	
		V_{DD} V_1	-30 -30	V °C	V_{IH} V_{IL}		-9		-4	V	
		T_{opt} T_{sig}	-20~-+75 -40~-+125	°C	V_{PH} V_{PL}		-20		-3	V	
					V_{OZ}	$V_I=V_{IH\max}$, $R_L=20\text{k}\Omega$, $I_L=-80\mu\text{A}$			-2	V	
					V_{OL}	$V_I=V_{IL\max}$, $R_L=20\text{k}\Omega$, $I_L=+80\mu\text{A}$	-13.3		-2	V	
					$t_{pd(on)}$	$R_L=20\text{k}\Omega$, $C_L=30\text{pF}$			2	μs	
					$t_{pd(off)}$	$R_L=20\text{k}\Omega$, $C_L=30\text{pF}$			2	μs	
					f_{min}			1.0		kHz	

集積回路新製品規格表

MOS IC (モールド DIP) 集積回路新製品規格表

品名	回路機能	絶対最大定格($T_a=25^{\circ}\text{C}$)				電気的特性($T_a=25^{\circ}\text{C}$, $V_{DD}=-24\text{V}\pm10\%$)					
		略号	定格	単位	略号	条件	件数	最小	標準	最大	単位
$\mu\text{PDI}03\text{C}$	Quad 1Bit Shift Register	V_{DD}	-30	V	V_{IH}	$V_I = V_{IL\max}, R_L = 20\text{k}\Omega,$ $I_L = -80\mu\text{A}$	-9 -20 -13.3 10	-4 -3 -2 2	V V V V	V V V μs μs kHz	
		V_I	-30	V	V_{IL}						
		T_{opt}	-20~+75	°C	V_{PH}						
		T_{stg}	-40~+125	°C	V_{PL}						
		V_{OH}									
		V_{OL}									
		$t_{pd(on)}$									
		$t_{pd(off)}$									
		f_{min}									
		V_{DD}	-30	V	V_{IH}						
$\mu\text{PDI}04\text{C}$	Dual 8Bit Shift Register	V_I	-30	V	V_{IL}						
		T_{opt}	-20~+75	°C	V_{PH}						
		T_{stg}	-40~+125	°C	V_{PL}						
		V_{OH}									